

第三章 扭转（二）

第 9 讲

§ 3.4 圆轴扭转时的应力

一、横截面上的切应力

$$\tau_\rho = \frac{T\rho}{I_p} \quad \tau_{\max} = \frac{T\rho_{\max}}{I_p} = \frac{T}{W_p} \quad W_p = \frac{I_p}{\rho_{\max}} \quad \text{抗扭截面系数}$$

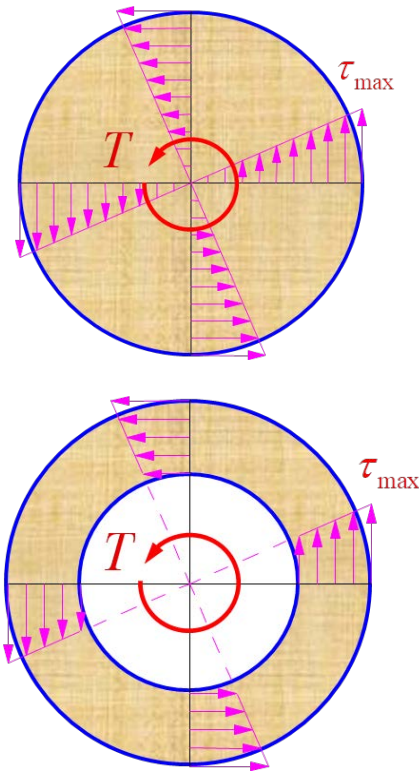
实心圆截面（直径为 d ）： $I_p = \frac{\pi d^4}{32}, \quad W_p = \frac{\pi d^3}{16}$

空心圆截面（外直径为 D 、 $I_p = \frac{\pi(D^4 - d^4)}{32} = \frac{\pi D^4(1 - \alpha^4)}{32}$

内直径为 d 的）：

$$W_p = \frac{\pi D^3(1 - \alpha^4)}{16} \quad \alpha = \frac{d}{D}$$

$$\tau_{\text{薄壁}} = \frac{T}{2\pi r_0^2 \delta} \quad \delta \leq \frac{r_0}{10} \quad \text{与精确解的误差} < 5\%$$



例1 在材料相同的条件下，用 $d/D=0.5$ 的空心圆轴取代实心圆轴，所需要的材料之比为多少？

0.8

解：设实心轴的直径为 $d_{\text{实}}$ ，空心轴的外直径为 D ，由题意知：

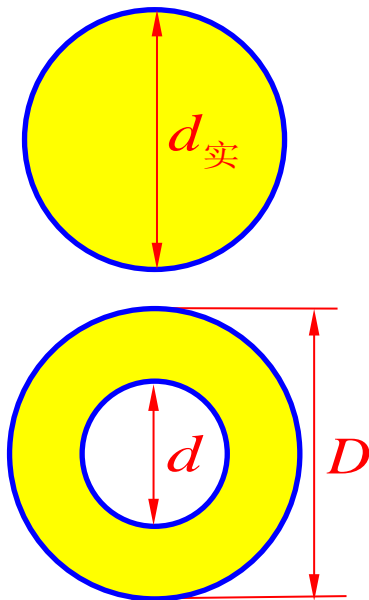
$$\tau_{\max, \text{实}} = \tau_{\max, \text{空}}$$

$$\frac{T}{\frac{\pi d_{\text{实}}^3}{16}} = \frac{T}{\frac{\pi D^3}{16} (1 - 0.5^4)} \quad \text{得：} \quad \frac{D}{d_{\text{实}}} = 1.022$$

1.192

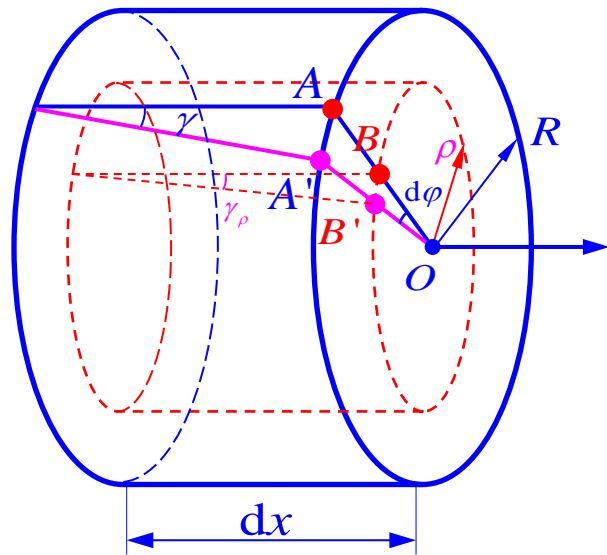
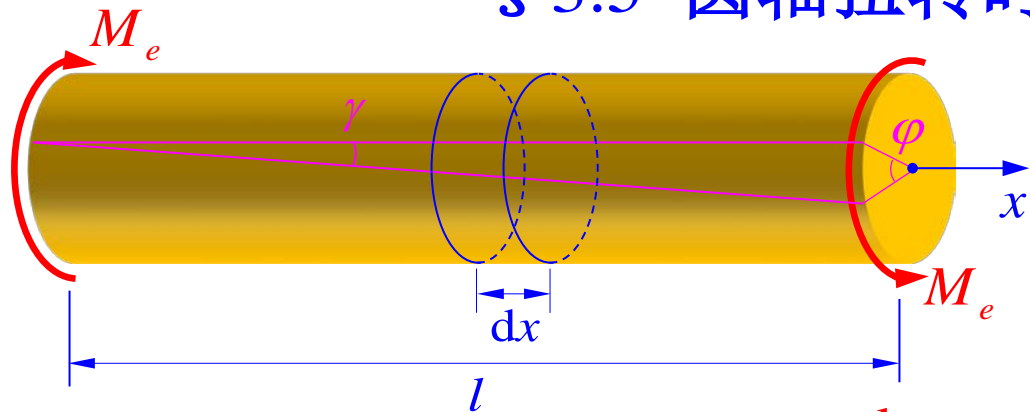
$$\frac{A_{\text{空}}}{A_{\text{实}}} = \frac{\frac{\pi}{4} (D^2 - d^2)}{\frac{\pi d_{\text{实}}^2}{4}} = \frac{\frac{\pi D^2}{4} (1 - 0.5^2)}{\frac{\pi d_{\text{实}}^2}{4}} = 0.783$$

0.512



工程中大多使用空心圆轴，可显著节省材料！

§ 3.5 圆轴扭转时的变形



几何关系 $\gamma_\rho dx = \rho d\varphi \Rightarrow \gamma_\rho = \rho \frac{d\varphi}{dx}$ 单位长度扭转角

物理关系 $\tau_\rho = G\gamma_\rho \Rightarrow \tau_\rho = G\rho \frac{d\varphi}{dx}$

静力关系 $\int_A \rho \cdot \tau_\rho dA = T \Rightarrow G \frac{d\varphi}{dx} \int_A \rho^2 dA = T \Rightarrow GI_p \frac{d\varphi}{dx} = T$

$$\frac{d\varphi}{dx} = \frac{T}{GI_p}$$

$$\varphi' = \frac{d\varphi}{dx}$$

若车床丝杆扭转角过大，会影响车刀进给，降低加工精度；镗床的主轴或磨床的传动轴若扭转角过大，将引起扭转振动，影响工件的精度和光洁度。

圆轴扭转时的刚度条件：

$$\varphi' = \frac{d\varphi}{dx} = \frac{T}{GI_p} \leq [\varphi'] \quad \text{rad/m}$$

$$\varphi' = \frac{T}{GI_p} \times \frac{180}{\pi} \leq [\varphi'] \quad ^\circ/\text{m}$$

$[\varphi']$ 可从有关规范和手册中查到，常取在0.15–0.3 ($^\circ/\text{m}$)

对于一般的传动轴可放宽到2 $^\circ/\text{m}$ 左右

✚ 对于大多数的机床，刚度是主要问题。因此，用刚度作为控制因素的轴是比较普遍的。

两截面间的相对扭转角

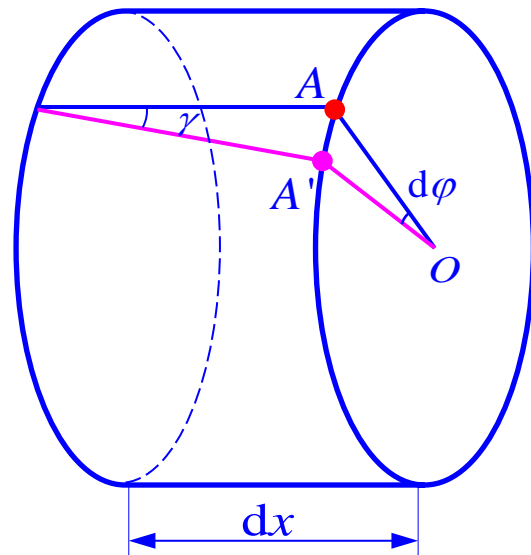
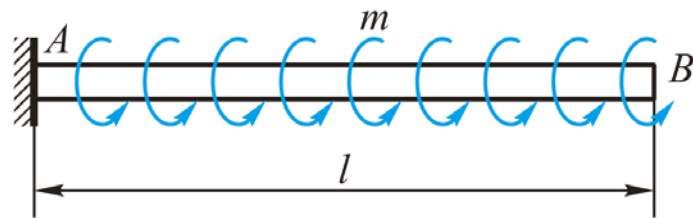
$$\frac{d\varphi}{dx} = \frac{T}{GI_p}$$

$$\frac{d\varphi}{dx} = \frac{T(x)}{G(x)I_p(x)} \quad (\text{非均匀扭转变形})$$

$$\varphi = \int_l \frac{T(x)}{G(x)I_p(x)} dx$$

若 T, G, I_p 均为常数, $\varphi = \frac{Tl}{\textcircled{GI_p}}$ 抗扭刚度

拉压杆的伸长: $\Delta l = \frac{F_N l}{\textcircled{EA}}$ 抗拉刚度



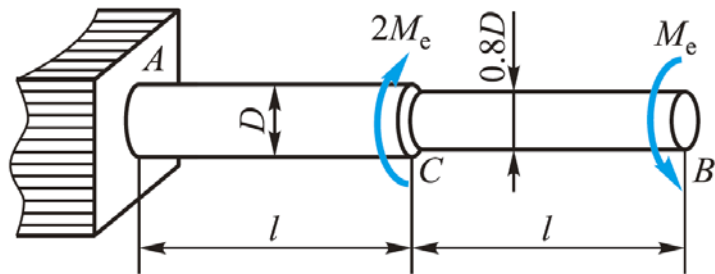
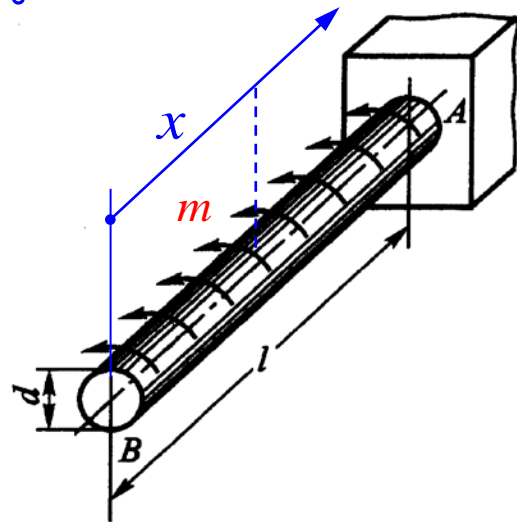
例2 已知杆件的直径为 d ，材料的切变模量为 G 。受均布力偶矩 m 作用。
求图示杆件截面 B 相对于截面 A 的扭转角。

解：

$$\frac{d\varphi}{dx} = \frac{T}{GI_p}, \quad T(x) = m \cdot x$$

$$\varphi_{BA} = \int_0^l \frac{T(x)}{GI_p} dx$$

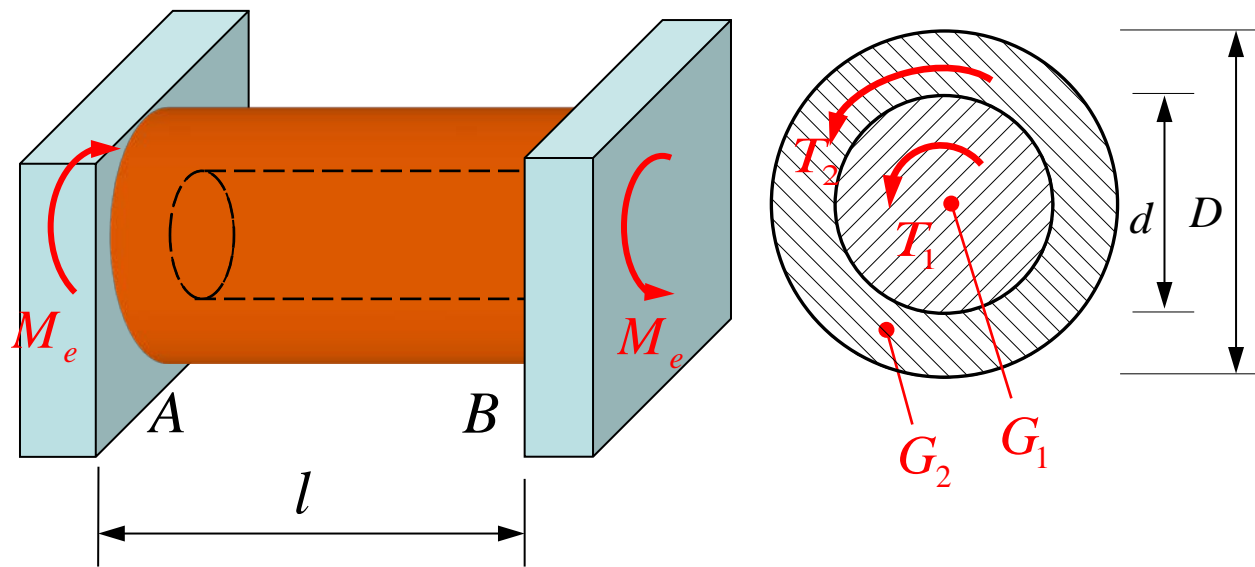
$$\varphi_{BA} = \frac{1}{G \frac{\pi}{32} d^4} \int_0^l m x dx = \frac{16ml^2}{G\pi d^4}$$



$$\varphi_{BA} = \varphi_{BC} + \varphi_{CA} = \frac{T_{BC} l_{BC}}{GI_{p,BC}} + \frac{T_{CA} l_{CA}}{GI_{p,CA}}$$

$$= \frac{M_e l}{G \frac{\pi}{32} (\frac{4}{5} D)^4} + \frac{-M_e l}{G \frac{\pi}{32} (D)^4} = \frac{369M_e l}{8\pi G D^4}$$

例3 由不同材料的实心圆截面杆和空心圆截面杆粘结在一起的组合杆，长度均为 l ，其切变模量分别为 G_1 和 G_2 。当组合杆的两端面各自固结于刚性板上，并在刚性板上作用一对外偶矩 M_e ，试求分别作用于内外杆上的扭矩。



分析：

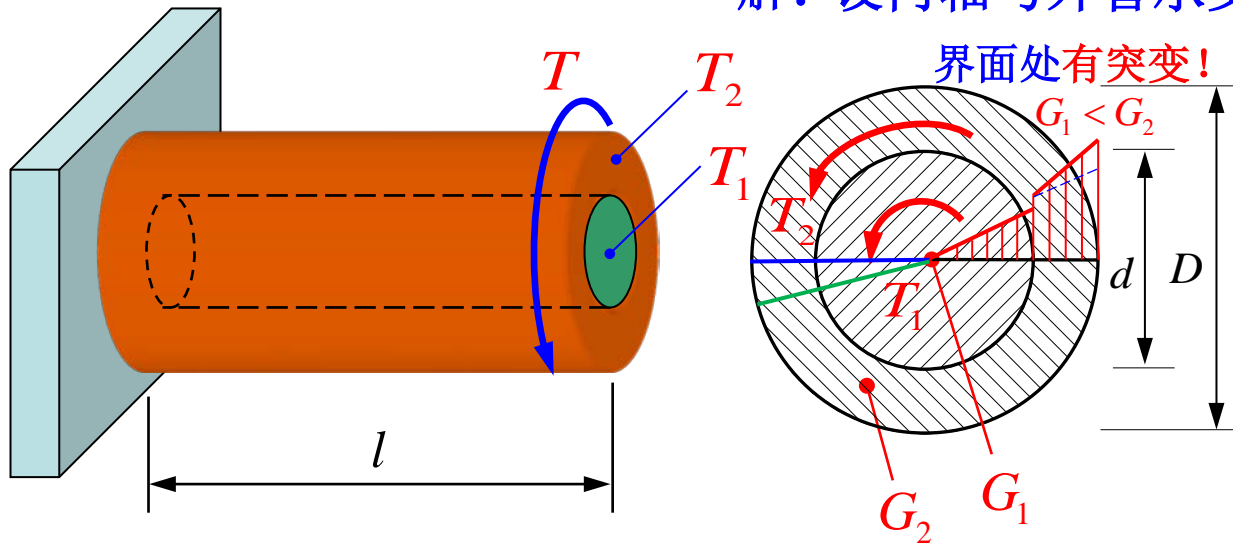
设内轴与外管承受的扭矩分别为 T_1 和 T_2 ，

$$T_1 + T_2 = M_e$$

扭转超静定问题

一次超静定

解：设内轴与外管承受的扭矩分别为 T_1 和 T_2 ，



界面处有突变！

$$T_1 + T_2 = T, \quad T = M_e$$

变形协调方程：

平面假设仍成立

变形后外管与内轴
两端截面的相对扭
转角应相等，即

$$\varphi_1 = \varphi_2$$

进而可以算得复合轴横截面
上的切应力！

切应力的分布特征？

$$T_1 = \frac{G_1 I_{p内}}{G_1 I_{p内} + G_2 I_{p外}} T$$

$$T_2 = \frac{G_2 I_{p外}}{G_1 I_{p内} + G_2 I_{p外}} T$$

$$\frac{T_1 l}{G_1 I_{p内}} = \frac{T_2 l}{G_2 I_{p外}}$$

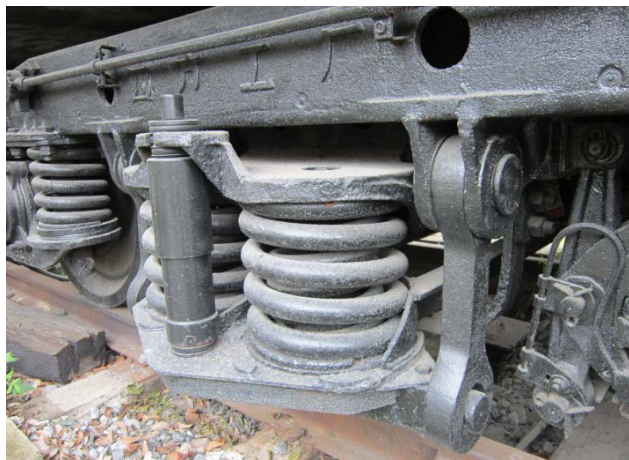
$$I_{p内} = \frac{1}{32} \pi d^4$$

$$I_{p外} = \frac{1}{32} \pi (D^4 - d^4)$$

§ 3.6 圆柱螺旋弹簧的应力和变形

圆柱螺旋弹簧在工程中应用极广。它可用于缓冲减振，如火车和汽车轮轴的支承弹簧。又可用于控制机械运动，如凸轮机构的压紧弹簧、内燃机的气阀弹簧等。也可用于测量力的大小，如弹簧秤中的弹簧。

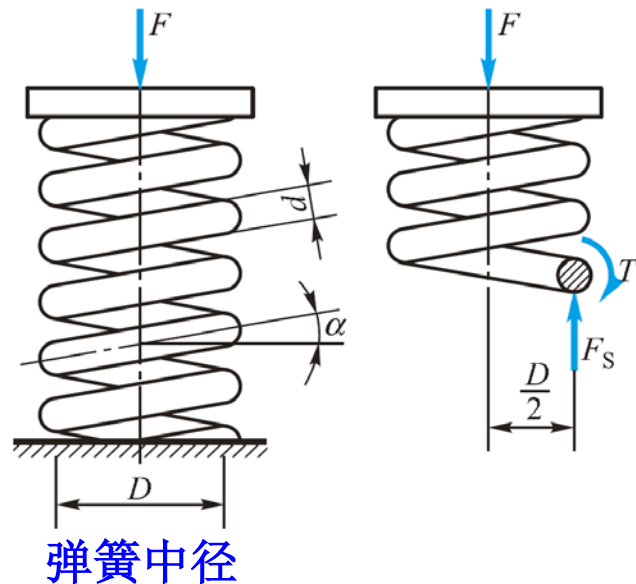
圆柱螺旋弹簧簧丝的轴线是一条空间螺旋线。



一、弹簧丝横截面上的应力

受轴向压力(拉力) F 作用时,若圆柱螺旋弹簧的螺旋角 $\alpha < 5^\circ$ 时,近似地认为弹簧丝横截面与弹簧轴线(亦即与力 F)在同一平面内。一般将这种弹簧称为密圈螺旋弹簧。

当弹簧丝横截面的直径 d 远小于弹簧中径,即弹簧圈的平均直径 D 时,可以略去弹簧丝曲率的影响,近似地用直圆杆公式计算。

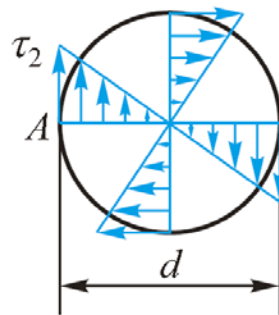
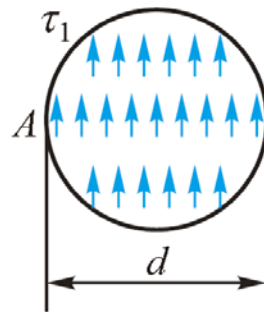
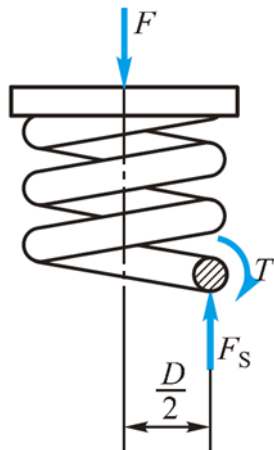


以弹簧丝的任意横截面取出上面部分作为研究对象,根据平衡方程

$$\text{剪力 } F_s = F ; \quad \text{扭矩 } T = F \frac{D}{2}$$

$$\tau_1 = \frac{F_s}{A} = \frac{F_s}{\frac{\pi}{4}d^2} = \frac{4F_s}{\pi d^2}$$

$$\tau_{2\max} = \frac{T}{W_p} = \frac{F \frac{D}{2}}{\frac{\pi}{16}d^3} = \frac{8FD}{\pi d^3}$$



弹簧丝横截面上任意点的总应力，应是剪切和扭转两种切应力的矢量和。在靠近轴线的内侧点A处， τ_1 和 $\tau_{2\max}$ 方向一致，总应力达到最大值，

$$\tau_{\max} = \tau_1 + \tau_{2\max} = \frac{4F}{\pi d^2} + \frac{8FD}{\pi d^3}$$

用直杆的扭转公式计算应力，没有考虑弹簧丝实际上是一个曲杆，在 D/d 较小时，会引起较大的误差。此外，认为剪切引起的切应力 τ_1 “均匀分布”于截面上，也是一个假定。

在考虑了弹簧丝曲率和 τ_1 并非均匀分布等两个因素后，最大切应力的修正公式为

$$\tau_{\max} = \left(\frac{4c-1}{4c-4} + \frac{0.615}{c} \right) \frac{8FD}{\pi d^3} = k \frac{8FD}{\pi d^3} \quad c = \frac{D}{d}, \quad k = \frac{4c-1}{4c-4} + \frac{0.615}{c}$$

c 称为弹簧指数， k 称为曲度系数

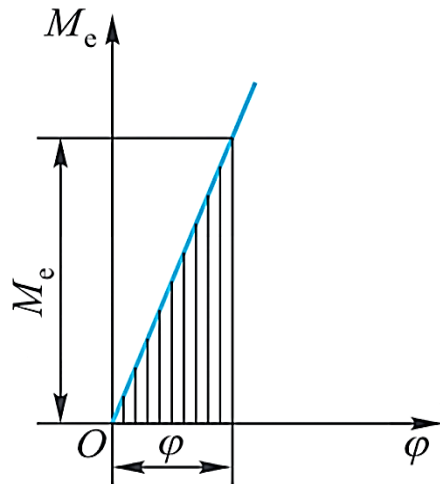
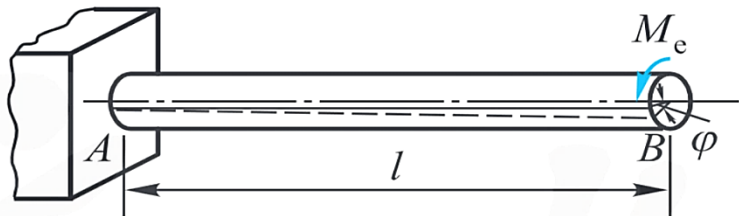
螺旋弹簧的曲度系数 k

c	4	4.5	5	5.5	6	6.5	7	7.5	8	8.5	9	9.5	10	12	14
k	1.40	1.35	1.31	1.28	1.25	1.23	1.21	1.20	1.18	1.17	1.16	1.15	1.14	1.12	1.10

c 越小， k 越大！

二、弹簧的变形

1. 圆轴扭转时的应变能



$$W = \frac{1}{2} M_e \varphi \quad \varphi = \frac{M_e l}{GI_p}$$

$$W = \frac{M_e^2 l}{2GI_p} \quad \xleftrightarrow[M_e = T]{\text{功能原理}} \quad V_\varepsilon = \frac{T^2 l}{2GI_p} \quad \longleftrightarrow \quad V_\varepsilon = \frac{GI_p}{2l} \varphi^2$$

$W = V_\varepsilon$

扭转情形应变能计算: $V_\varepsilon = \iiint_V v_\varepsilon dV$ $v_\varepsilon = \frac{1}{2} \tau \gamma$

$$\begin{aligned}
 V_\varepsilon &= \iiint_V \frac{1}{2} \tau \gamma dV \xrightarrow{\text{等直圆杆}} V_\varepsilon = \int_l \iint_A \frac{1}{2G} \frac{T^2}{I_p^2} \rho^2 dA dl \\
 &= \iiint_V \frac{1}{2G} \tau^2 dV && \begin{array}{l} M_e, G, I_p \\ \text{均为常数} \end{array} \\
 &= \iiint_V \frac{1}{2G} \left(\frac{T\rho}{I_p} \right)^2 dV \\
 &= \int_l \frac{1}{2G} \frac{T^2}{I_p^2} I_p dl \\
 &= \int_l \frac{T^2(x)}{2G(x)I_p(x)} dx
 \end{aligned}$$

$$\begin{aligned}
 V_\varepsilon &= \frac{T^2 l}{2GI_p} \\
 V_\varepsilon &= \frac{GI_p}{2l} \varphi^2
 \end{aligned}$$

分段直杆 $V_\varepsilon = \sum_i \frac{T_i^2 l_i}{2G_i I_{pi}}$

变截面直杆 $V_\varepsilon = \int_0^l \frac{T^2}{2GI_p(x)} dx$

变截面且变外力矩直杆 $V_\varepsilon = \int_0^l \frac{T^2(x)}{2GI_p(x)} dx$

2. 弹簧的应变能

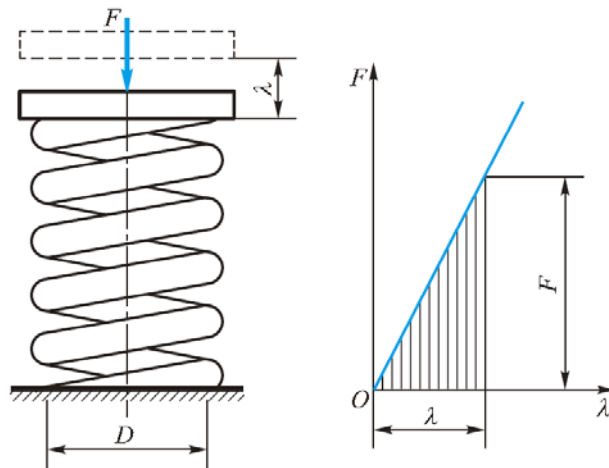
$$V_{\varepsilon} = \frac{T^2 l}{2GI_p} = \frac{\left(F \frac{D}{2}\right)^2 n\pi D}{2G \frac{\pi d^4}{32}} = \frac{4F^2 D^3 n}{Gd^4}$$

G 为簧丝材料的切变模量

n 为弹簧的有效圈数（即扣除两端与弹簧座接触部分后的圈数） $l = n\pi D$

弹簧在轴向压力（或拉力）作用下，轴线方向的总缩短（或伸长）量 λ ，就是弹簧的变形。在弹性范围内，试验表明，压力 F 与变形 λ 成正比，即 F 与 λ 的关系呈一条斜直线。当外力从零增加到最终值时，它做的功等于斜直线下的面积，即

$$W = \frac{1}{2} F \lambda$$



由功能原理，外力完成的功应等于储存于弹簧的应变能，即

$$W = V_{\varepsilon}$$

$$\frac{1}{2}F\lambda = \frac{4F^2D^3n}{Gd^4} \longrightarrow \lambda = \frac{8FD^3n}{Gd^4} \longrightarrow \lambda = \frac{F}{C}$$

$$\text{令 } C = \frac{Gd^4}{8D^3n}$$

C 称为弹簧的刚度系数
代表弹簧抵抗变形的能力

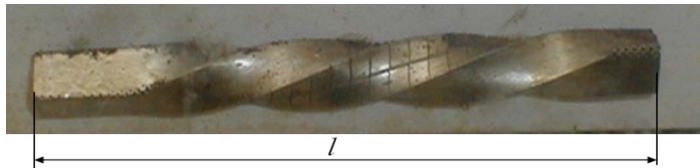
$$\tau_{\max} = k \frac{8FD}{\pi d^3}$$

λ 与 d^4 成反比，如希望弹簧有较好的减振和缓冲作用，即要求它有较大变形（比较柔软）时，应使弹簧丝横截面直径 d 尽可能小一些，但相应的 τ_{\max} 的数值会增高，这就要求弹簧材料有较高的 $[\tau]$ 。此外，增加有效圈数 n 和加大弹簧中径 D ，都可以取得增大 λ 的效果。

§ 3.7 非圆截面杆扭转的概念

圆截面杆扭转时的应力和变形公式，均建立在平面假设的基础上。

对于非圆截面杆，受扭时横截面不再保持为平面，杆的横截面已由原来的平面变成了曲面，这一现象称为截面翘曲。



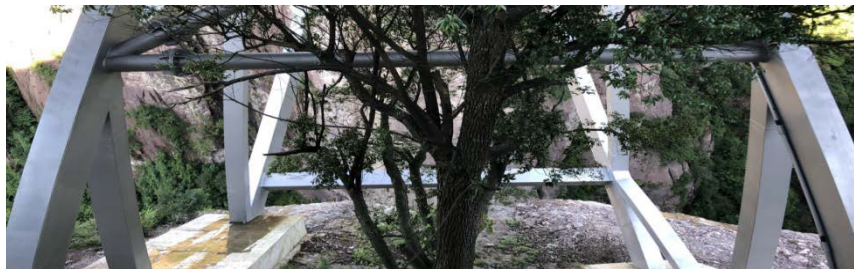
矩形截面杆扭转



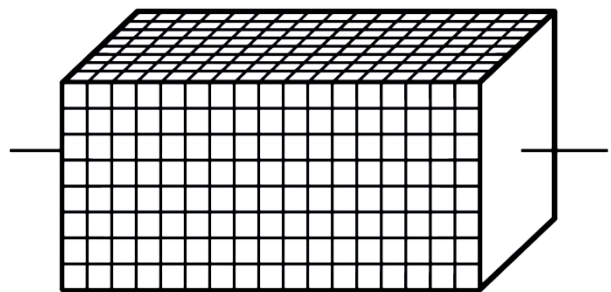
矩形截面
弹簧



如意桥

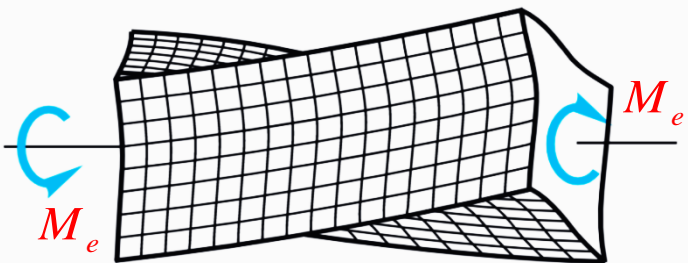


非圆（矩形）截面杆



当端面可以自由翘曲时，称为自由扭转；当端面受到约束而不能自由翘曲时，称为约束扭转。

约束扭转由于相邻梁截面的翘曲程度不同，将在横截面上产生附加的正应力。



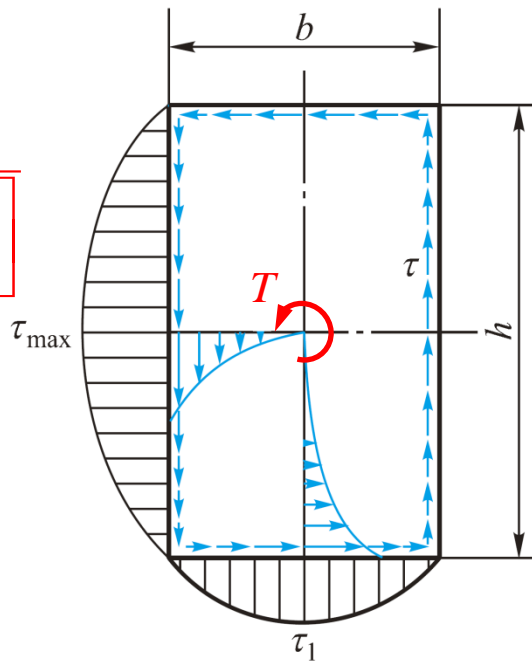
非圆截面杆扭转时将发生截面翘曲，变形后的平面不再保持平面。因此，圆轴扭转时的应力、变形公式对非圆截面杆均不适用！

工字钢、槽钢、薄壁杆件，约束扭转时引起的正应力往往是相当大的；矩形截面、椭圆截面的实体杆件，约束扭转时引起的正应力很小。

矩形截面杆自由扭转时的弹性力学解¹⁾

$$\tau_{\max} = \frac{T \left[1 - \frac{8}{\pi^2} \sum_{n=1,3,5,\dots}^{\infty} \frac{1}{n^2 \operatorname{ch} \frac{n\pi h}{2b}} \right]}{hb^2 \left[\frac{1}{3} - \frac{64b}{\pi^5 h} \sum_{n=1,3,5,\dots}^{\infty} \frac{\operatorname{th} \frac{n\pi h}{2b}}{n^5} \right]}$$

$$\varphi' = \frac{T}{Ghb^3 \left[\frac{1}{3} - \frac{64b}{\pi^5 h} \sum_{n=1,3,5,\dots}^{\infty} \frac{\operatorname{th} \frac{n\pi h}{2b}}{n^5} \right]}$$



$h > b$

矩形截面杆扭转的切应力（结论）

1. 在横截面的边缘上各点的切应力均与周边平行；
2. 且截面的四个角点上切应力均为零；
3. 最大切应力发生在长边中点处。

¹⁾ 徐芝纶 弹性力学（上册），第4版，高等教育出版社，2006.

弹性力学解的处理

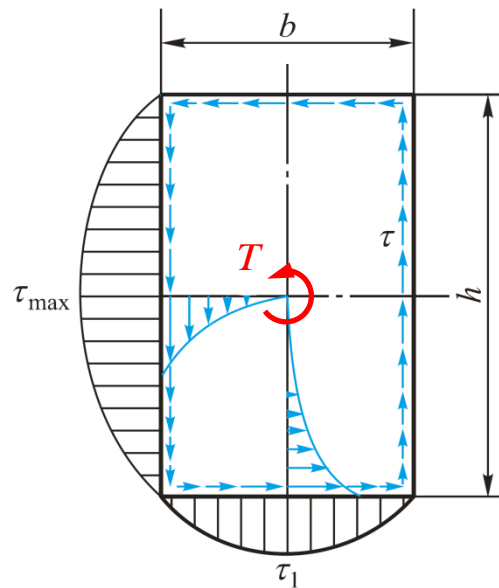
$$\tau_{\max} = \frac{T \left[1 - \frac{8}{\pi^2} \sum_{n=1,3,5,\dots}^{\infty} \frac{1}{n^2 \operatorname{ch} \frac{n\pi h}{2b}} \right]}{hb^2 \left[\frac{1}{3} - \frac{64}{\pi^5} \frac{b}{h} \sum_{n=1,3,5,\dots}^{\infty} \frac{\operatorname{th} \frac{n\pi h}{2b}}{n^5} \right]}$$

$$\varphi' = \frac{T}{Ghb^3 \left[\frac{1}{3} - \frac{64}{\pi^5} \frac{b}{h} \sum_{n=1,3,5,\dots}^{\infty} \frac{\operatorname{th} \frac{n\pi h}{2b}}{n^5} \right]}$$

$$\tau_{\max} = \frac{T}{hb^2 \alpha}$$

$$\varphi' = \frac{T}{Ghb^3 \beta}$$

α 和 β 只与矩形截面边长的比值 h/b 有关



矩形截面杆自由扭转时的系数 P. 104 表3.2

h/b	1.0	1.2	1.5	2.0	2.5	3.0	4.0	6.0	8.0	10.0	∞
α	0.208	0.219	0.231	0.246	0.258	0.267	0.282	0.299	0.307	0.313	0.333
β	0.141	0.166	0.196	0.229	0.249	0.263	0.281	0.299	0.307	0.313	0.333
ν	1.000	0.930	0.858	0.796	0.767	0.753	0.745	0.743	0.743	0.743	0.743

当 $\frac{h}{b} > 10$ (狭长矩形截面)

时, 有 $\alpha = \beta = \frac{1}{3}$, $\nu = 0.743$

$\tau_1 = \nu \tau_{\max}$ (短边中点)

矩形截面杆的扭转 ($h>b$)

$$\tau_{\max} = \frac{T}{\alpha h b^2} \quad (\text{长边中点处}) ; \quad \tau_1 = \nu \tau_{\max} \quad (\text{短边中点处})$$

$$\varphi' = \frac{T}{G h b^3 \beta} \Rightarrow \varphi' = \frac{T}{G I_t}$$

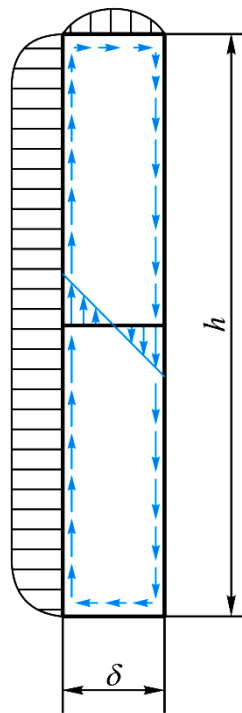


非圆形截面杆的抗扭刚度

$I_t = \beta h b^3$ 非圆形截面的相当极惯性矩

狭长矩形截面 ($\frac{h}{\delta} > 10$) : $\alpha = \beta = \frac{1}{3}$

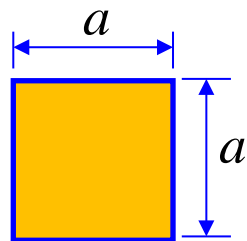
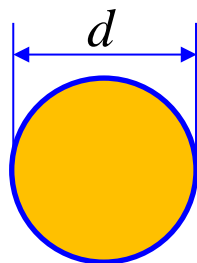
$$\tau_{\max} = \frac{T}{W_t} = \frac{T}{\frac{1}{3} h \delta^2}, \quad \varphi' = \frac{T}{G I_t} = \frac{T}{G \cdot \frac{1}{3} h \delta^3}$$



例5 T 、 G 、 A 、 l 均相同的两根轴，截面分别为圆形和正方形。试比较两者的最大扭转切应力与扭转变形。

解：1) 圆形截面 (circular)

$$\tau_{\max}^{\text{cir}} = \frac{16T}{\pi d^3}, \quad \varphi^{\text{cir}} = \frac{32Tl}{G\pi d^4}.$$



2) 正方形截面 (square)

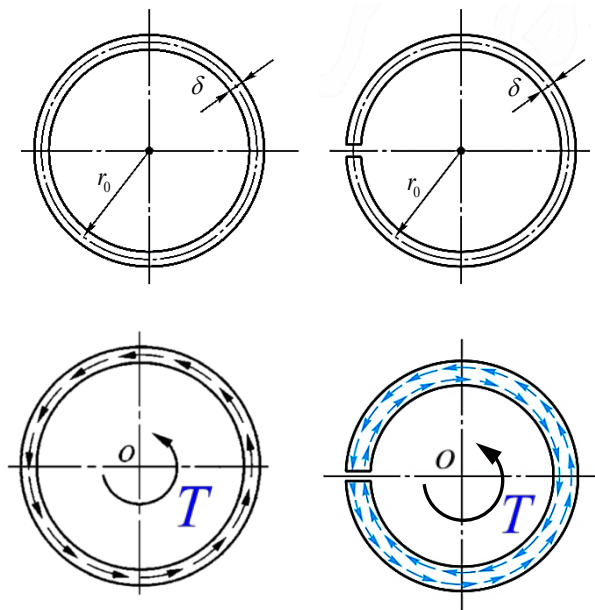
$$\tau_{\max}^{\text{squ}} = \frac{T}{\alpha \cdot a^3} = \frac{T}{0.208a^3}, \quad \varphi^{\text{squ}} = \frac{Tl}{G \cdot \beta a^4} = \frac{Tl}{0.141Ga^4}.$$

3) 比值 两种截面的面积相同，有 $\frac{\pi d^2}{4} = a^2 \Rightarrow \frac{a}{d} = \frac{\sqrt{\pi}}{2}$.

$$\frac{\tau_{\max}^{\text{cir}}}{\tau_{\max}^{\text{squ}}} = \frac{16 \times 0.208a^3}{\pi d^3} = 0.737, \quad \frac{\varphi^{\text{cir}}}{\varphi^{\text{squ}}} = \frac{32 \times 0.141a^4}{\pi d^4} = 0.886.$$

◀ 无论是扭转强度，还是扭转刚度，圆形截面都比正方形截面更优！

例6 截面为圆环形的开口和闭口薄壁杆件。设两杆的截面具有相同的平均半径 r_0 和壁厚 δ 。试比较两者的扭转强度。



解: $\tau_{\text{闭口}} = \frac{T}{2\pi r_0^2 \delta}$ 薄壁杆件 $\delta \leq \frac{r_0}{10}$

开口: 看成狭长矩形

$$h = 2\pi r_0 \quad h/\delta > 10$$

$$\tau_{\text{开口}} = \frac{T}{\frac{1}{3} h \delta^2} = \frac{T}{\frac{1}{3} 2\pi r_0 \delta^2} = \frac{3T}{2\pi r_0 \delta^2}$$

$$\frac{\tau_{\text{开口}}}{\tau_{\text{闭口}}} = \frac{3T}{2\pi r_0 \delta^2} \bigg/ \frac{3}{2\pi r_0^2 \delta} = 3 \frac{r_0}{\delta}$$

开口薄壁杆件内的切应力远大于闭口薄壁杆件内的切应力

Thank you!

作业

P. 114-115: 3.14

P. 117: 3.23、3.24

对应第6版的题号: P. 108: 3.14; P. 111: 3.23、3.24

下次课内容 附录 I 截面的几何性质